

# مجله علوم و صنایع غذایی ایران

سایت مجله: [www.fsct.modares.ac.ir](http://www.fsct.modares.ac.ir)

مقاله علمی-پژوهشی

## ستز آسان و سبز نانوکامپوزیت‌های زیست سازگار بر پایه گرافن اکسید کاهش یافته/اکسید آهن جهت اندازه‌گیری وانیلین در نمونه‌های غذایی: بهینه‌سازی به روش سطح پاسخ

مهسا تبریزی<sup>۱</sup>، سید احمد شهیدی<sup>۲\*</sup>، فرشته چکین<sup>۳</sup>، آزاده قربانی حسن سرایی<sup>۴</sup>، شهرام نقی زاده رئیسی<sup>۵</sup>

۱- دانشجوی دکترا، گروه علوم و صنایع غذایی، واحد آیت‌الله... آملی، دانشگاه آزاد اسلامی، آمل، ایران.

۲- دانشیار، گروه علوم و صنایع غذایی، واحد آیت‌الله... آملی، دانشگاه آزاد اسلامی، آمل، ایران.

۳- دانشیار، گروه شیمی، واحد آیت‌الله... آملی، دانشگاه آزاد اسلامی، آمل، ایران.

۴- دانشیار، گروه علوم و صنایع غذایی، واحد آیت‌الله... آملی، دانشگاه آزاد اسلامی، آمل، ایران.

۵- استادیار، گروه علوم و صنایع غذایی، واحد آیت‌الله... آملی، دانشگاه آزاد اسلامی، آمل، ایران.

### چکیده

### اطلاعات مقاله

تاریخ های مقاله:

تاریخ دریافت: ۱۴۰۰/۱۲/۰۵

تاریخ پذیرش: ۱۴۰۱/۰۴/۰۱

اندازه‌گیری افروندنی‌ها نقش مهمی در کنترل کیفیت مواد غذایی دارد و تأثیر بسیاری بر سلامت عمومی دارد؛ بنابراین، تشخیص سریع این ترکیبات در نمونه‌های غذایی در اینمی مواد غذایی اهمیت دارد. در این پژوهش، نانوکامپوزیت گرافن اکسید احیاکنده ( $r\text{G-Fe}_3\text{O}_4\text{-NC}$ ) ( $\text{Fe}_3\text{O}_4$ ) از طریق عصاره پوست لیموترش در محیط آبی به عنوان یک عامل کاهنده ستز شد. در ابتدا بهینه‌سازی چند متغیره بر مبنای طرح مرکزی چرخش پذیر در روش سطح پاسخ جهت تعیین شرایط بهینه متغیرهای تجربی مؤثر بر ساخت الکترود مورداستفاده قرار گرفت. طراحی آزمایش برای تعیین شرایط بهینه  $\text{pH}$  و محتوای نانوکامپوزیت (درصد) در ستز الکترود انجام شد. شرایط بهینه شامل  $\text{pH}$  معادل ۶ و محتوای نانوکامپوزیت ۸ درصد تعیین شدند. ستز نانوکامپوزیت‌ها با تکنیک‌های TEM و XRD مشخص شدند. پس از آن، الکترود خمیر کربن (CPE) با  $r\text{G-Fe}_3\text{O}_4\text{-NC}$  اصلاح شد و به عنوان یک حسگر الکتروآنالیز برای وانیلین استفاده شد. گزینش پذیری الکترود اصلاح شده از طریق تداخل ویتامین B2، میکرونولار وانیلین، کلرید پتاسیم (KCl)، برومید پتاسیم (KBr) و گلوکز در حضور ۲۵ میکرونولار وانیلین در سطح  $r\text{G-Fe}_3\text{O}_4\text{-NC/CPE}$  با خطای قابل قبول ۵ درصد بررسی شد. نتایج نشان داد که ۵۰۰ برابر ترکیبات فوق هیچ‌گونه تداخل مهمی در فرآیند تشخیص بر ۲۵ میکرونولار وانیلین ندارند. گستره خطی برای وانیلین در محدوده بین ۱/۰ نانومولار تا ۲۵۰ میکرونولار با حد تشخیص  $0/3$  نانومولار گزارش شد. در نهایت  $r\text{G-Fe}_3\text{O}_4\text{-NC/CPE}$  با موفقیت برای تعیین مقدار وانیلین در نمونه‌های غذایی استفاده شد. بنابراین می‌توان از حسگر پیشنهادی در خطوط تولید مواد غذایی نظری شیرهای طعم دار و بستنی به صورت برخط در تعیین مقدار وانیلین استفاده کرد.

کلمات کلیدی:

حسگر الکتروشیمیایی، طراحی آزمایش‌ها، عصاره پوست لیموترش، وانیلین.

DOI: 10.22034/FSCT.19.126.283

DOR: 20.1001.1.20088787.1401.19.126.26.7

\* مسئول مکاتبات:  
sashahidy@yahoo.com

## ۱- مقدمه

می‌تواند به عنوان بستر مناسب با مزیت‌های عالی عمل کند، به طوری که نانو ذرات فلزی و نافلزی می‌توانند به روی سطح آن پراکنده شده و انتقال الکترون در سطح این مواد هیریدی را تسهیل کنند [۱۸].

از احیای شیمیابی گرافن اکسید و حذف برخی گروه‌های اکسیژن دار آن، گرافن اکسید کاهش یافته به دست می‌آید. گرافن اکسید کاهش یافته به واسطه زیست سازگاری مناسب در زمینه کشت سلولی، زیست حسگرها و مهندسی بافت به کار می‌رود [۱۹]. احیای گرافن اکسید با دو روش شامل احیا حرارتی و احیا شیمیابی امکان‌پذیر است. روش احیای شیمیابی گرافن اکسید، توسط هیدرازین و مشتقات آن، سدیم بوروهیدرات، هیدرویدیک اسید و مخلوط آن با استیک اسید و اسکوربیک اسید در دمای محیط یا با اعمال گرمای ملایم انجام می‌شود. در این روش، نیاز به تجهیزات و یا محیط خاصی برای احیا نیست. به همین دلیل، احیای شیمیابی روش ارزان‌تر و ساده‌تری برای احیای حجم بیشتری از گرافن اکسید در مقایسه با روش حرارتی است [۲۰]. در روش شیمیابی از معرفه‌ای کاهنده خطرناک و سمی استفاده می‌شود؛ اما ستز سبز به دلیل غیر سمی و ارزان بودن به عنوان روشی جدید و جانشینی با ارزش برای روش‌های شیمیابی سمی و مخرب در ستز گرافن اکسید کاهش یافته با کارایی بالا استفاده می‌شود [۲۱]. در ستز سبز از مواد طبیعی مختلفی استفاده می‌شود که از استخراج حاصل از برگ یا ساقه گیاهان و یا میوه‌ها به عنوان معرف کاهنده و پایدارکننده در ستز گرافن اکسید کاهش یافته به کار گرفته می‌شود [۲۲]. در حال حاضر بی‌ستز نانو ذرات فلزی به وسیله گیاهان در حال توسعه می‌باشد. نانوفناوری سبز توجه زیادی را به خود جلب کرده و شامل طیف وسیعی از فرایندهایی می‌شود که باعث کاهش یا حذف مواد سمی بازگردانده شده به محیط زیست می‌شود. ستز نانو ذرات فلزی با استفاده از بافت غیرفعال گیاه [۲۳]، عصاره گیاهان [۲۴] و سایر قسمت‌های زنده گیاهان [۲۵]، یک جایگزین مدرن برای تولید آن هاست. از طرفی در روش ستز سبز نانو موادی نظیر نانو ذرات فلزی، یون‌های فلزات با استفاده از ترکیبات گیاهی معمولاً یک واکنش تک مرحله‌ای داده که بدون نیاز به سورفکتانت و سایر عوامل پایدارکننده به نانوذره تبدیل می‌شوند. مواد و ترکیبات فعلی زیستی در

وانیلین (۴-هیدروکسی-۳-امتوکسی بنزالدئید)، وانیلیک اسید، ۴-هیدروکسی بنزوئیک اسید، پی هیدروکسی بنزیل الکل و ۴-هیدروکسی بنزالدئید ترکیبات شیمیابی اصلی به دست آمده از دانه‌های وانیل هستند [۱]. این ترکیب یک افزودنی آلى معطر است که به طور گسترده در انواع مختلف محصولات غذایی استفاده می‌شود [۲]. وانیلین و پیپرونال موجود در وانیل مسئول طعم لذیذ بوده و اثرات مفیدی بر سلامتی دارند [۳] و به عنوان ماده اصلی طعم‌دهنده وانیل محسوب می‌شود که ۱/۵۲-۲/۴۲ درصد وزن خشک دانه را تشکیل می‌دهد [۳]. این افزودنی بیشتر به عنوان یک ماده طعم‌دهنده در غذاها، نوشیدنی‌ها و داروها استفاده می‌شود که اغلب در طعم‌های شیرین استفاده می‌شود. وانیلین، یک فنل استو به عنوان یک آنتی‌اکسیدان خوب، عامل ضد میکروبی و تقویت‌کننده طعم هم عمل می‌کند. همچنین برای پوشاندن یا کم کردن طعم‌های ناخواسته نیز استفاده می‌شود. وانیلین در بین ترکیبات آروماتیک شناخته شده بیشترین مصرف جهانی را به خود اختصاص داده است [۴] و از آنجایی که اهمیت فناورانه بالای دارد، تشخیص آن با حساسیت بالا در صنعت ضروری است.

برای اندازه‌گیری وانیلین تاکنون روش‌های مختلفی مانند میکرو استخراج مایع-مایع در ترکیب با الکتروفورز ناجیه موئینه [۵]، کروماتوگرافی مایع با کارایی بالا [۶]، کروماتوگرافی لایه نازک [۷]، تکنیک‌های الکتروشیمیابی [۸-۱۰] و آنالیز اسپکتروفوتومتری [۱۱] استفاده شده است.

تجهیزات در روش‌های کروماتوگرافی گران قیمت بوده و هزینه‌های عملیاتی آنها نیز بالا است. از سوی دیگر به آماده‌سازی اولیه نمونه نیاز دارند؛ اما روش‌های الکتروشیمیابی اغلب به دلیل گزینش پذیری بالا، هزینه کم، تشخیص سریع و عدم وجود یک فعالیت اولیه قابل توجه برای آماده‌سازی نمونه مورد علاقه قرار گرفته‌اند [۱۲-۱۴]. در روش‌های الکتروشیمیابی، الکترودهای کار نقش کلیدی در سنجش دارند [۱۵]. در سال‌های اخیر استفاده از مواد نانو ساختار در اصلاح سطح الکترودها توسعه یافته است [۱۶]. گرافن اکسید به دلیل داشتن هدایت الکتریکی بالا، سطح فعل بالا، نسبت سطح به حجم بالا و خواص الکتروکاتالیزوری عالی، توجه بسیاری از محققین را به خود جلب کرده است [۱۷]. گرافن اکسید

## ۲- مواد و روش‌ها

### ۱-۲- مواد

آهن (III) کلرید، سدیم هیدروکسید، گرافن اکسید، آهن (II) سولفات از شرکت مرک خریداری شد و برای ستر نانوذرات Fe<sub>3</sub>O<sub>4</sub> استفاده شدند. لیموترش از بازار محلی (آمل، مازندران، ایران) خریداری و برای احیای گرافن اکسید استفاده شد. وانیلین، روغن پارافین، فسفریک اسید، پودر گرافیت و سایر مواد مورد استفاده از شرکت سیگما‌الدیریج خریداری شدند.

### ۲-۱- تهیه محلول‌ها

#### ۱-۲-۱- بافرهای فسفات

از محلول‌های بافر فسفات با غلظت کل M ۰/۱، برای ثبت pH محلول‌های آزمایشی در محدوده pH ۲/۰۰ تا ۱۰/۰۰ استفاده شد [۳۰].

#### ۱-۲-۲- وانیلین

محلول وانیلین (۰/۰۱ مولار) با حل کردن ۰/۰۱۵۲ گرم وانیلین در ۱۰ میلی‌لیتر آب مقطر تهیه شد و به عنوان محلول ذخیره برای تحقیقات الکتروشیمیابی بعدی نگهداری شد. برای آتالیز وانیلین از نمونه‌های بیسکوئیت، شکلات و شیر قهوه استفاده شد. برای نمونه‌های جامد، ابتدا پودر شده و ۱ گرم از آن و یا ۱ میلی‌لیتر از شیر قهوه در داخل ۱۰ میلی‌لیتر اتانول به مدت ۴۵ دقیقه تحت فراصوت قرار گرفت. نمونه طراحی شده به ۴۰ دقیقه با دور ۳۰۰۰ دور بر دقیقه سانتریفیوژ شد و نمونه با استفاده از روش افزایش استاندارد مورد ارزیابی قرار گرفت [۳۰].

#### ۱-۲-۳- تهیه عصاره لیموترش

پوست لیمو طی ۴۸ ساعت با جریان هوای خشک در آون در دمای ۴ درجه‌ی سانتی‌گراد خشک گردید و با استفاده از یک آسیاب آزمایشگاهی، آسیاب شده، سپس پوست لیمو خشک شده در بسته‌بندی‌های پلی‌اتیلنی (زیپ کیپ) قرار داده و در دمای ۴ درجه‌ی سانتی‌گراد در یخچال جهت آزمون‌های بعدی نگهداری گردید [۳۱]. پوست خشک شده (۵ گرم) با استفاده از یک دستگاه خردکننده به قطرهای ۱ تا ۲ میلی‌لیتر آسیاب شده و با افزودن ۳۰ میلی‌لیتر حلال اتانول- آب (V/V) در مخزن درینتی شده قرار گرفت، مخزن در حمام اولتراسونیک به مدت ۳۰ دقیقه در دمای اتاق ۲۵ درجه

عصاره‌های گیاهان از جمله فلاونوئیدها و سایر متابولیت‌های مؤثر فعال محلول در آب می‌توانند برای احیای یون‌های فلزی به نانو ذرات در دمای اتاق مورد استفاده قرار گیرند [۲۶]. از طرفی مطالعات انجام شده توسط سایر پژوهشگران نشان داده است که نانوکامپوزیت‌های گرافن اکسید کاهش‌یافته دارای خواص ضد باکتری، ضد قارچ، ضدپریوس‌ها و پروتوزوئرها می‌باشند. خاصیت ضد باکتری گرافن اکسید کاهش‌یافته نسبت به باکتری گرم منفی نظیر اشرشیاکلی و باکتری گرم مثبت استانفیلوکوکوس اورئوس زیاد می‌باشد که میزان خاصیت ضد باکتری وابسته به مقدار گرافن اکسید کاهش‌یافته است [۲۷].

به منظور ساخت الکترود اصلاح شده با نانو کامپوزیت، بهینه‌سازی پارامترهای مؤثر در ساخت حسگر اهمیت زیادی دارد. استفاده از روش بهینه‌سازی با یک عامل در هر زمان، تعداد آزمایش‌های زیاد، مواد شیمیابی قابل توجه و زمان بالا نیاز دارد. راهبرد مناسب یک رویکرد آماری است و استفاده از روش سطح پاسخ (RSM) بر اساس طراحی آزمایش و تجزیه و تحلیل رگرسیون چندگانه برای تعیین رابطه بین متغیرهای فرایند و پاسخ است [۱۲ و ۲۸]. روش سطح پاسخ (RSM) مجموعه‌ای از تکنیک‌های ریاضی و تجربی مفید برای ایجاد مدل و برای بهینه‌سازی فرآیندها حتی در حضور فعل و افعال پیچیده است. به دلیل استفاده عملی در بهینه‌سازی یک فرآیند چند متغیره است و شامل یک یا چندین متغیر وابسته تحت تأثیر فاکتورهای مختلف یا متغیرهای مستقل می‌باشد. به کارگیری روش RSM می‌تواند منجر به تسهیل پیچیدگی روش‌های آزمایش مورد نیاز برای ارزیابی متغیرهای چندگانه و برهمکنش آنها شود؛ بنابراین، این روش کار و زمان را نسبت به دیگر روش‌های موردنیاز برای بهینه کردن کاهش می‌دهد [۲۹].

در این مقاله سعی شده است یک روش ساده و ارزان برای ستر نانوکامپوزیت‌های زیست سازگار گرافن اکسید کاهش‌یافته/نانو ذرات اکسید آهن با استفاده از عصاره حاصل از پوست لیموترش به عنوان یک معرف کاهنده و پایدارکننده ارائه شود. جنبه دیگر این پژوهش بهینه‌سازی پارامترهای مؤثر در ساخت حسگر با روش سطح پاسخ و استفاده از این حسگر در اندازه‌گیری وانیلین است.

گرافن اکسید کاهش یافته و خمیر کربن اصلاح نشده به عنوان الکترودهای کار استفاده شدند. از یک میله پلاتینی به عنوان الکترود کمکی در ثبت ولتاومگرام‌های موج مریعی استفاده شد. از یک الکترود نقره/ نقره کلرید/ پتاسیم کلرید،  $\text{Ag}|\text{AgCl}| \text{KCl}(3\text{M})$  به عنوان الکترود شاهد استفاده شد.

#### ۲-۱- بررسی مورفولوژی و ساختار نانو کامپوزیت

برای تعیین سایز نانو ذرات مورد استفاده، از روش پراش پرتو X استفاده شد. تحقیق و بررسی ساختار توسط دستگاه ARL PERFORMIR<sup>X</sup> مدل XANJAG شد [۳۲]. منع تشعشع دستگاه Cu-ka بود. پرتوهای ایزتابشی از نمونه در دمای محیط در محدوده  $2\Theta$  بین  $20^{\circ}$  تا  $70^{\circ}$  درجه با اندازه گام  $0.02^{\circ}$  درجه بر ثانیه در زمان  $50$  دقیقه جمع‌آوری شد.

#### ۲-۲- بررسی اثر سرعت روبش پتانسیل بر رفتار کاتالیزوری ترکیب موردنظر با استفاده از روش ولتامتری روبش خطی

برای بررسی نفوذی و یا جذب سطحی بودن فرآیند اکسایش آنالیتها در سطح الکترود اصلاح شده از ولتامتری روبش خطی استفاده شد. بدین منظور ولتاومگرام‌های روبش خطی الکترود اصلاح شده در حضور ترکیب موردنظر در سرعت‌های اسکن  $10$ ,  $30$ ,  $50$ ,  $80$  و  $120$  میلی‌ولت بر ثانیه ثبت و منحنی جریان بر حسب جذر سرعت روبش رسم شد [۳۰ و ۳۲].

#### ۲-۳- بررسی‌های کرونوآمپرومتری

برای تعیین ضریب نفوذ ترکیبات موردنظر آنالیز از تکنیک کرونوآمپرومتری استفاده شد. بدین منظور نرم‌افزار دستگاه در حالت کرونوآمپرومتری قرار گرفت. کرونوآمپر و گرام برای ترکیبات موردنظر آنالیز در حضور غلاظت‌های مختلف ترکیب موردنظر آنالیز و با پتانسیل اعمالی موردنظر ثبت شدند. در ادامه منحنی تغییرات جریان کاتالیزیزیر حسب عکس جذر زمان ثبت و از رابطه کاترول ضریب نفوذ محاسبه شد [۳۰ و ۳۲].

#### ۲-۴- تعیین محدوده خطی ترکیبات موردنظر آنالیز با استفاده از روش ولتامتری موج مریعی

برای تعیین گستره غلظتی‌حسگر تهیه شده و حد تشخیص مربوط به آن از روش ولتامتری موج مریعی استفاده شد. یکی از مهم‌ترین ویژگی‌های یک حسگر محدوده‌ای است که به آن جواب می‌دهد. به عبارتی کمترین غلظتی که ماده در سطح آن حسگر سیگنال خود را ظاهر می‌کند که به آن محدوده خطی

سانتی‌گراد) قرار داده شد. سوسپانسیون پالایه شده و پودر باقی‌مانده دو بار دیگر با استفاده از  $25$  میلی‌لیتر حلal اتانول- آب ( $70:30$  V/V) استخراج شد. پس از تصفیه، عصاره پالایه شده به  $100$  میلی‌لیتر در یک بالن ژوژه ( $100$  میلی‌لیتر) توسط حلal اتانول- آب ( $70:30$  V/V) رقیق شد و قبل از مصرف در دمای  $4$  درجه سانتی‌گراد نگهداری شد [۳۱].

#### ۲-۳- ستز سبز گرافن اکسید کاهش یافته

گرافن اکسید کاهش یافته (rGO) از پیش‌ماده گرافن اکسید(GO) با استفاده از عصاره پوست لیمو تهیه شد. به طور خلاصه، عصاره پوست لیمو ( $10$  mL) به صور تقطیرهای مدت  $45$  دقیقه به  $20$  mL از سوسپانسیون آبی GO ( $0.05$  mg/mL) اضافه شد و مخلوط به مدت  $6$  ساعت در دمای  $60^{\circ}\text{C}$  رفلاکس‌کرگفت. محصول با استفاده از سانتریفیوژ در  $15000$  دور در دقیقه به مدت  $15$  دقیقه جداشده، به مدت چهار بار با آب شسته شد و در طول شب در  $70$  درجه سلسیوس در آن خشک گردید [۲۷].

#### ۲-۴- ساخت حسگر خمیر کربن اصلاح شده با

#### گرافن اکسید کاهش یافته(rGO/CPE)

برای تهیه خمیر کربن مقداری از پودر گرافیت را در یک هاون دستی ریخته و سپس به پودر گرافیت قطره قطره روغن پارافین اضافه کردیم تا خمیر کاملاً یکنواخت و دارای خواص شبیه کرده به دست آید. خمیر کربن تهیه شده را به انتهای باز کاملاً‌اصاف یک لوله شبیه‌ای به قطر سه میلی‌متر وارد کردیم و با مالیدن سطح آن بر روی یک ورق سفید کاغذ گلاسه، سطح کاملاً صاف و یکنواختی حاصل شد. برای اتصال الکتریکی الکترود، از یک سیم مسی استفاده می‌شود که با فشار دادن سیم مسی موجود در لوله به طرف پایین می‌توان خمیر کربن موجود در انتهای لوله را به راحتی از لوله خارج نمود و سطح الکترود را تجدید کرد. سپس  $1$  میلی‌گرمaz گرافن اکسید کاهش یافته در  $1$  میلی‌لیتر اتانول برای  $20$  دقیقه در حمام فرماصوت پر اکنده شده و  $5$  میکرولیتر از آن بر روی سطح الکترود خمیر کربن قطره گذاری شده و در دمای اتاق خشک شد [۲۷].

#### ۲-۵- آزمون‌ها

برای حذف مداخله افت اهمی از سیستم  $3$  الکترودی استفاده شد. از الکترودهای خمیر کربن اصلاح شده با گرافن اکسید و

مزاحمت‌ها ثبت شد. اگر تغییر در جریان و یا پتانسیل مربوط به اکسایش آنالیت‌ها در حضور مزاحمت تغییری بیشتر از حدود ۵٪ (به اضافه و منهای پنج درصد) را نشان ندهد، آن میزان به عنوان مقدار مزاحمت در نظر گرفته نمی‌شود. چنانچه گونه تغییری بیش از این مقدار را نشان دهد میزان غلظت گونه مزاحمت را کاهش داده تا تغییرات در محدوده مورد نظر قرار گیرد [۳۰ و ۳۲].

## ۶- روش بهینه‌سازی

طرح مرکب مرکزی چرخش پذیر (RCCD) سه سطحی دو فاکتوری برای بررسی بهینه‌سازی به کار رفت. pH ( $X_1$ ) و محتوای نانوکامپوزیت الکترود ( $X_2$ ) به عنوان متغیرهای مستقل انتخاب شدند (جدول ۱). جریان آندی مربوط به وانیلین به عنوان پاسخ آزمایش‌های طرح در نظر گرفته شد. طرح کلی آزمایش‌ها شامل ۱۳ آزمون (Run) بود که با ۵ تکرار در نقاط مرکزی انجام شد (جدول ۲).

گویند. کمترین غلظتی که در آن، ماده سیگنالش را ظاهر می‌کندا تا غلظتی که بعد از آن با اضافه کردن ماده مورد نظر، سیگنال ماده ثابت باقی می‌ماند و افزایشی مشاهده نمی‌شود. افزایش مقدار آنالیت تا اندازه‌ای می‌باشد که افزودن مقدار اضافه از آنالیت‌ها باعث تغییر در جریان کاتالیزوری نشود [۳۰ و ۳۲].

## ۵-۵-۲- بررسی اثر گونه‌های مزاحمت بر فرآیند کاتالیزوری ترکیب مورد آنالیز

برای بررسی اثر گونه‌های مزاحمت جهت کاربرد این حسگر در آنالیز ترکیبات مورد نظر در نمونه‌های حقیقی از روش ولتاویری موج مربعی استفاده شد. بدین منظور ویتامین  $B_2$ ، میتوین، والین، گلاسین، پتاسیم کلرید و گلوکز که اکثراً در نمونه‌های مورد آنالیز این آنالیت‌ها حضور دارند مورد ارزیابی قرار گرفتند. برای بررسی مقدار مزاحمت، مقدار مشخصی از ترکیب مورد نظر در محلول بافر قرار گرفته و ولاموگرامولتاویری موج مربعی در حضور مقداری مختلف از

**Table 1** Independent variables and their levels used in the response surface design

Independent variables	Factor level				
	-1.41421 (-α)	-1	0	1	1.41421 (+α)
pH	4.59	5	6	7	7.41
Nanocomposite (%)	3.78	4.50	6.25	8	8.72

**Table 2** Response surface central composite design (uncoded) and results

Run Order	pH	Nanocomposite (%)	I ( $\mu$ A)		
			Actual Value	Predicted Value	Residual
1	6	6.25	5.70	5.74	-0.0400
2	6	6.25	5.80	5.74	0.0600
3	7	4.5	4.00	4.15	-0.1507
4	5	4.5	2.50	2.54	-0.0411
5	6	6.25	5.80	5.74	0.0600
6	6	8.724874	7.60	7.61	-0.0149
7	6	6.25	5.70	5.74	-0.0400
8	6	6.25	5.70	5.74	-0.0400
9	5	8	6.10	6.05	0.0507
10	7	8	6.00	6.06	-0.0589
11	6	3.775126	3.90	3.79	0.1149
12	7.414214	6.25	4.40	4.27	0.1275
13	4.585786	6.25	3.10	3.13	-0.0275

برای بهینه‌سازی به روش سطح پاسخ از نرم‌افزار دیزاین اکسپرت (نسخه ۱۲) و برای مقایسه آماری از نرم‌افزار مینی تب (نسخه ۱۹) استفاده شد. پس از مشخص شدن شرایط، با روش بهینه عملیات مجدد با سه تکرار انجام شد. نتایج حاصل توسط روش آنالیز واریانس یک‌طرفه آزمون شده و میانگین‌ها به روش توکی مقایسه شدند. داده‌های آنالیز نمونه‌های حقیقی

شرایط عملیاتی بهینه برای افزایش جریان آندی در حسگر با استفاده از تکنیک بهینه‌سازی عددی با نرم‌افزار دیزاین اکسپرت نسخه ۱۲ بررسی گردید. بدین منظور در ابتدا شرایط بهینه توسط نرم‌افزار انتخاب گردید.

## ۷-۲- تجزیه و تحلیل نتایج

افزایش فاصله بین لایه‌های ترکیب می‌توان نتیجه گرفت که گروه‌های عاملی مبتنی بر اکسیژن بر سطح نانو صفحات تشکیل شده است و به همین دلیل فاصله بین صفحات افزایش یافته است [۳۳].

### ۲-۳-بهینه‌سازی ساخت الکترود در الکتروکاتالیز وانیلین

به منظور ساخت الکترود اصلاح شده با نانو کامپوزیت سترنی ابتدا بهینه‌سازی پارامترهای مؤثر در ساخت حسگر مورد بررسی قرار گرفت. برای مطالعه تأثیر محتوای pH و نانوکامپوزیت بر جریان آندی مربوط به وانیلین حسگر، یک طرح آزمایشی مرکب مرکزی چرخش پذیر با دو فاکتور در سه سطح استفاده شد. در ادامه تک‌تک آزمایش‌ها در شرایط پیشنهاد شده در نقشه آزمایش‌ها انجام پذیرفت و میانگین نتایج حاصل از آزمون‌ها به عنوان پاسخ در نظر گرفته شد تا در مرحله بعد این نتایج برای به دست آوردن شرایط بهینه، تجزیه و تحلیل شوند (جدول ۲). با توجه به جدول ۲ می‌توان گفت کمینه جریان آندی مربوط به وانیلین ( $2/5 \mu\text{A}$ ) مربوط به تیمارها با اثرات محتوای نانوکامپوزیت (۵/۴ درصد) و pH (۵) است و همچنین همان‌گونه که می‌توان دید، بیشترین جریان آندی مربوط به وانیلین ( $7/6 \mu\text{A}$ ) مربوط به تیمارها با اثرات سه‌گانه محتوای نانوکامپوزیت (۷/۸/۷/۲) درصد) و pH (۶) می‌باشد. تجزیه واریانس برای ارزیابی اثرات معنی‌داری متغیرهای فرایند بر روی هر یک از پاسخ‌ها به کمک نرم‌افزار دیزاین اکسپرت نسخه ۱۲ انجام گرفت. با انجام آنالیز رگرسیون چند متغیره، مدل‌های چندجمله‌ای درجه دوم برای پیش‌بینی هر یک از پاسخ‌ها به دست آمد. برآشن داده‌های به دست آمده برای جریان آندی مربوط به وانیلین به دست آمده، بر اساس مدل چندجمله‌ای درجه دوم صورت گرفت. نتایج جداول آنالیز واریانس در مورد جریان آندی مربوط به وانیلین در جدول ۳ مشاهده می‌شود. تجزیه واریانس اثرات خطی فاکتورها همچنین اثرات درجه دوم فاکتورها و اثرات متقابل فاکتورها بر نمونه حسگر در سطح ۹۵ و ۹۹ درصد معنی‌دار بود. در پژوهش حاضر  $R^2$  برای جریان آندی مربوط به وانیلین  $0.9970$  به دست آمد که بیانگر این است که مدل رگرسیون وانش را به خوبی توضیح داده و مدل برآش شده توانسته  $99/70$  درصد از کل تغییرات در دامنه مقادیر مورد مطالعه را توضیح دهد. بالا بودن  $R^2$  تعدل شده ( $0.9948$ ) در

با استفاده از روش افزایش استاندارد بررسی شدند. نمونه مورد آنالیز به دو قسمت تقسیم شد که یکی توسط حسگر پیشنهادی و قسمت دوم بهوسیله حسگر دیگری که قبلًا توانایی آن به اثبات رسیده است مورد تجزیه و تحلیل قرار گرفت.

### ۳-نتایج و بحث

#### ۳-۱-مورفولوژی و ساختار نانو کامپوزیت

برای بررسی صحت نانو کامپوزیت سترن شده که در تهیه الکترود اصلاح شده مورد استفاده قرار گرفته است از روش پراش پرتوی X استفاده شد. شکل ۱ تصویر پرتوی XRD یا همان الگوی XRD را برای نانو کامپوزیت نشان می‌دهد.

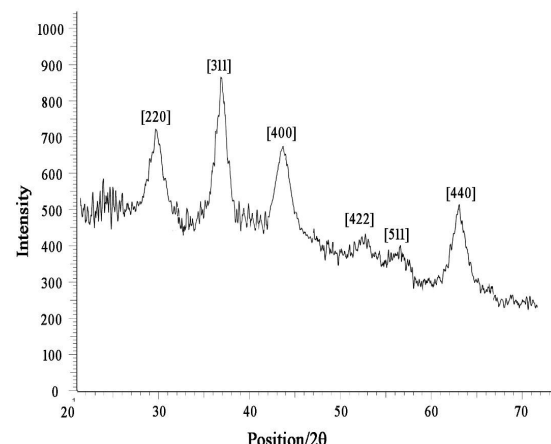


Fig 1 X-ray diffraction pattern of nanocomposite.

تکنیک پراش پرتوی X یکی از مفیدترین روش‌ها برای شناسایی و تعیین اندازه نانوکامپوزیت سترنی است. در این پژوهش نیز برای بررسی صحت نانو کامپوزیت سترن شده که در تهیه الکترود اصلاح شده مورد استفاده قرار گرفته است از روش پراش پرتوی X استفاده شده است. نتایج نشان‌دهنده ساختار نانو ذرات مغناطیسی در سطح نانو صفحه گرافن احیا شده با توزیع خوب بود. طیف XRD ساختار مکعبی را برای گرافن اکسید اصلاح شده با حضور شش صفحه شاخص‌های میلر (۲۲۰)، (۳۱۱)، (۴۰۰)، (۴۲۲)، (۵۱۱) و (۴۴۰) سترن نانو ذرات را با کارت شماره JCPDS No.65-3107<sup>۱</sup> تأیید می‌کند. انتقال پیک در ترکیب گرافن اکسید نسبت به ترکیب گرافیت به علت حضور گروه‌های عاملی در لایه‌های آن است که موجب می‌شود فاصله بین لایه‌ها افزایش پیدا کند. از این

1. International Centre for Diffraction Data

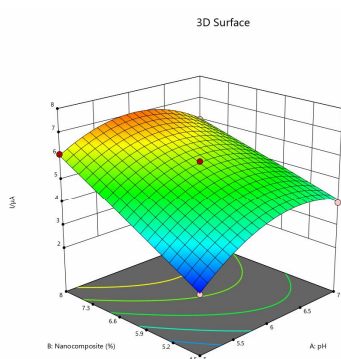
در مدل مشاهده نشده است.

این پژوهش نشان می‌دهد که عامل غیر معنی‌داری درجه اول

**Table 3** Analysis of variance for the fitted models

Source	df	Coefficient	Sum of Squares	Mean Square	F-value	p-value
Model	5		23.95	4.79	459.85	< 0.0001
Residual	7		0.0729	0.0104		
Lack of Fit	3		0.0609	0.0203	6.77	0.0479
Pure Error	4		0.0120	0.0030		
Cor Total	12		24.02			
R <sup>2</sup>		0.9970				
Adj-R <sup>2</sup>		0.9948				
CV		2.00				
Press		0.4519				
Standard deviation		0.1021				
Adequate precision		73.1809				

افزایش سطح ناشی از به کار بردن نانو ذرات ستزی که سبب افزایش رسانایی در سطح الکترود اصلاح شده می‌شوند؛ و با نظر به اینکه به کار بردن این مواد تا میزان مشخصی توانایی افزایش جریان را در سطح الکترود اصلاح شده داشته و بعد از افزایش مازاد به دلیل اشباع شدن سطح الکترود جریان ثابت می‌شود، نیاز به بهینه‌سازی درصد نانو مواد مورد استفاده امری ضروری می‌باشد [۱۵].



**Fig 3** Response surface (3-D) showing the effect of the pH (X1) and Nanocomposite (X2) on the I ( $\mu\text{A}$ ).

همان‌طور که در شکل ۳ مشخص است، بهترین شرایط برای آنالیز در حضور حدود ۸ درصد نانوکامپوزیت اتفاق افتاده است، به طوری که پس از انجام بهینه‌سازی با این مقادیر جریان به بیشترین حد ممکن رسیده است.

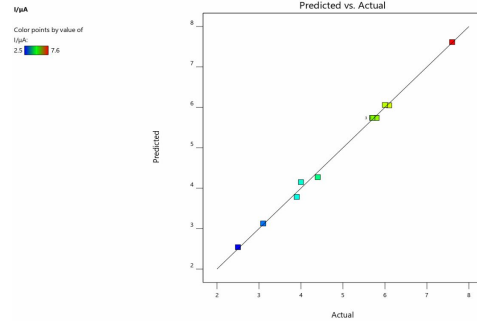
از آنجایی که وانیلین جزو دسته ترکیبات فنولی محلول در آب بوده و نتایج بررسی‌ها نشان می‌دهد که پاسخ ردیکس (اکسایش-احیا) آن به pH بستگی دارد [۳۰]. با توجه به ساختار فنولی و حضور پروتون در مبادله الکترون یافتن pH بهینه ساخت الکترود برای به دست آوردن بیشینه حساسیت و کاهش ولتاژ اضافی ضروری به نظر می‌رسد. با توجه به این

با اعمال تحلیل رگرسیون چندگانه بر رویدادهای تجربی، متغیر پاسخ و متغیرهای آزمون با مدل چندجمله‌ای مرتبه دوم زیر (معادله ۱) بیان شدند:

(۱)

$$I (\mu\text{A}) = -47.07137 + 14.07338 \text{ pH} + 2.22682 \text{ Nanocomposite} - 0.228571 \text{ pH}^2$$

مقادیر پیش‌بینی شده محاسبه شده از معادله فوق مطابقت بسیار خوبی با مقادیر تجربی داشتند (شکل ۲). از این‌رو، این مدل درجه دوم برای این آزمایش مناسب بود.



**Fig 2** Actual I ( $\mu\text{A}$ ) vs. the predicted I ( $\mu\text{A}$ ) under optimum conditions.

شکل ۳ نمودار سه‌بعدی سطح پاسخ جریان آندی مربوط به وانیلین به عنوان تابعی از محتوای نانوکامپوزیت و pH را نشان می‌دهد. همان‌گونه که در شکل مشاهده می‌شود با افزایش محتوای نانوکامپوزیت در کنار افزایش pH جریان آندی مربوط به وانیلین افزایش می‌یابد. همان‌گونه که مشخص است جریان آندی مربوط به وانیلین با افزایش pH تا محدوده ۶ افزایش می‌یابد اما پس از آن کاهش می‌یابد.

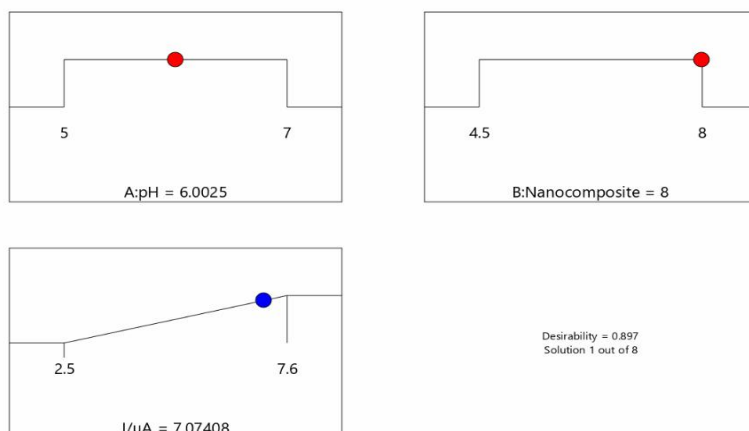
یکی از فاکتورهای مهم در تهیه حسگرهای ایجاد شرایط بهینه برای به دست آوردن بهترین شرایط در آنالیز است. با توجه به

شرایط عملیاتی بهینه برای افزایش جریان آندی در حسگر با استفاده از تکنیک بهینه‌سازی عددی با نرم‌افزار دیزاین اکسپرت نسخه ۱۲ بررسی گردید. بدین منظور در ابتدا شرایط بهینه توسط نرم‌افزار انتخاب گردید. شرایط بهینه در جدول ۴ ذکر شده است. در شرایط بهینه پیشنهادی جریان آندی محاسبه شد (شکل ۴).

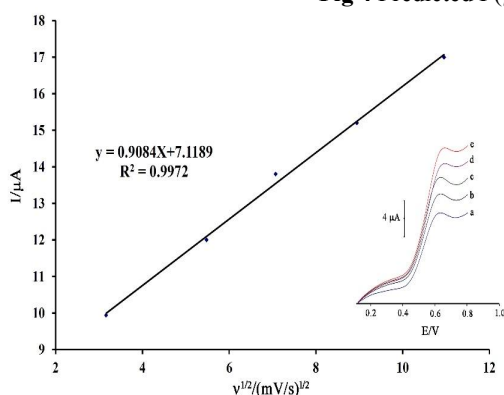
موضوع انتظار می‌رود بطبق اصل لوشاولیه با افزایش pH پتانسیل اکسایش اینگونه به سمت مقادیر منفی تر جایه‌جا شود. رابطه خطی بین پتانسیل و تغییرات pH برای الکترواکسیداسیون وانیلین نشان داد که یک شیب منفی تقریباً نزدیک به مقدار  $55/3$ - میلی ولت/pH است و برابری تعداد الکترون‌ها و پروتون‌های دخیل در فرایند الکترواکسیداسیون وانیلین را تأیید می‌کند. نتایج پژوهش حاضر با نتایج ذیج پور و همکاران [۳۰] و الپر و همکاران [۳۴] مطابقت داشت.

**Table 4** Optimized conditions for I ( $\mu\text{A}$ ) using RSM

Factors	The coded optimized values	The actual optimized values
pH	0	6.00
Nanocomposite (%)	1	8.00



**Fig 4** Predicted I ( $\mu\text{A}$ ) under optimum conditions.



**Fig 5**  $I - v^{1/2}$  plot for electro-oxidation of  $300 \mu\text{M}$  vanillin. Inset: Linear sweep voltammograms of  $300 \mu\text{M}$  vanillin at scan rates a) 10; b) 30; c) 50; d) 80 and e)  $120 \text{ mV/s}$ .

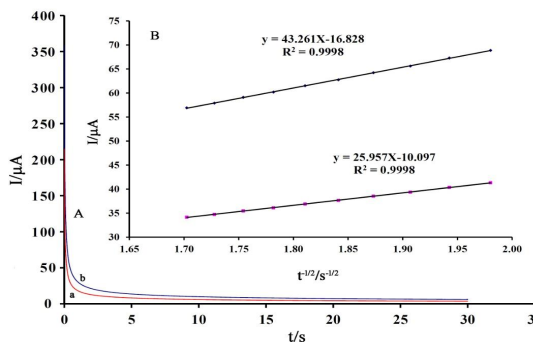
جریان اکسیداسیون وانیلین با افزایش سرعت روش با معادله  $I = 0.9084v^{1/2} + 7.1189$  با  $R^2 = 0.9972$  بهبود یافت که نشان دهنده یک فرآیند انتشار برای واکنش احیا وانیلین در

سپس برای بررسی درستی و صحت نتایج حاصل از مدل، در شرایط آزمایشگاه در نقاط بهینه‌ای که نرم‌افزار داده بود یک آزمایش در ۳ تکرار انجام شد. اختلاف معنی‌داری بین نتیجه پیش‌بینی شده توسط مدل ( $7/07 \mu\text{A}$ ) و نتیجه به دست‌آمده از کار آزمایشگاهی ( $7/05 \pm 0/07 \mu\text{A}$ ) مشاهده نشد.

### ۳-۳- بررسی اثر سرعت روش

برای بررسی نفوذی و یا جذب سطحی بودن فرایند اکسایش وانیلین از روش ولتاوگرام اکسایش وانیلین در استفاده شد شکل (۵- داخلی). ولتاوگرام اکسایش وانیلین در سرعت‌های روش  $10$  تا  $120$  میلی ولت برثانیه را نشان می‌دهد. در ادامه شکل (۵- بیرونی) منحنی تغییرات شدت جریان اکسایشی بر حسب جذر سرعت روش را برای الکتروود اصلاح شده برای وانیلین نشان می‌دهد.

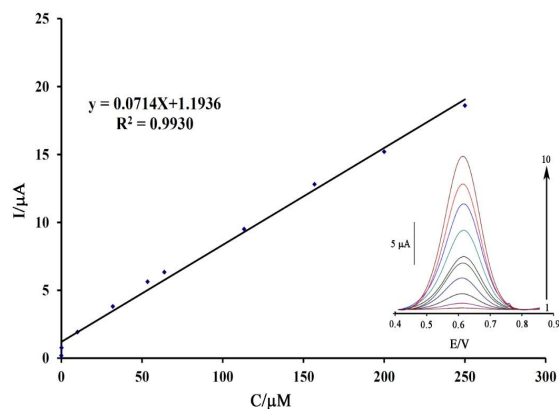
میانگین ضریب نفوذ برای اکسایش وانیلین در محلول  $D = \frac{3}{2} \times 10^{-5}$  سانتی متر مربع بر ثانیه محاسبه شد.



**Fig 6** A: Chronoamperograms obtained at the rG- $\text{Fe}_3\text{O}_4$ -NC/CPE in the solution containing (a) 300 and (b) 500  $\mu\text{M}$  vanillin. B: Cottrell plots obtained from chronoamperometry.

### ۵-۳ تعیین محدوده خطی و حد تشخیص وانیلین با استفاده از الکترود اصلاح شده

از روش ولتاوگرامی موج مربعی به علت حساسیت بالای آن نسبت به ولتاوگرامی چرخه‌ای برای تعیین گستره خطی و حد تشخیص وانیلین استفاده شد. شکل ۷ ولتاوگرام موج مربعی به همراه منحنی تغییرات غلظت برای الکترواکسیداسیون وانیلین در سطح الکترود اصلاح شده را نشان می‌دهد.



**Fig 7** The plots of the  $I_p$  as a function of vanillin concentration. Inset: Square wave voltammograms of rG- $\text{Fe}_3\text{O}_4$ -NC/CPE containing different concentrations of vanillin.

سیگال اکسیداسیون وانیلین در سطح rG- $\text{Fe}_3\text{O}_4$ -NC/CPE یک محدوده دینامیکی خطی بین ۱/۰ نانومولار تا ۲۵۰ میکرو مولار با  $Y = 0.0714X + 1.1936$  و  $R^2 = 0.9930$  با حد تشخیص ۰/۳ نانومولار نشان داد.

سطح rG- $\text{Fe}_3\text{O}_4$ -NC/CPE است [۳۵ و ۳۶]. افزایش خطی جریان اکسیداسیون وانیلین بر روی  $t^{1/2}$  نشان می‌دهد که واکنش الکترواکسیداسیون وانیلین تحت کنترل فرایند نفوذی است. به عبارتی، منحنی تغییرات شدت جریان اکسایشی این ترکیبات با جذر سرعت روبش رابطه خطی داشته که نشان دهنده نفوذی بودن فرایند اکسایش این ترکیبات در سطح الکترود اصلاح شده است. از طرفی با افزایش سرعت روبش، پتانسیل پیک آندی این ترکیبات به سمت مقادیر مثبت تر جابه‌جا شده که تأییدی بر محدودیت سیستمیکی اکسایش این ترکیب با افزایش سرعت روبش می‌باشد [۳۰].

باتوجه به نتایج فوق مشاهده می‌گردد که جریان پیک اکسایش وانیلین تحت تأثیر سرعت روبش پتانسیل قرار دارد و جریان اکسایش وانیلین تقریباً به طور خطی با افزایش سرعت روبش پتانسیل، کاهش می‌یابد؛ بنابراین می‌توان این گونه نتیجه‌گیری که در سرعت روبش پتانسیل کم، وانیلین مورد اندازه‌گیری زمان کافی و مورد نیاز را برای رسیدن به سطحاً لکترود و اکسید شدن را دارا است ولی در سرعت روبش پتانسیل بالا با توجه به زمان کمتر برای انجام واکنش الکتروشیمیایی مقدار کمتری از گونه مورد اندازه‌گیری فرست رسانید به سطح الکترود و انجام واکنش الکتروشیمیایی را دارند [۳۷].

### ۴- مطالعه کرونوآمپرومتری

برای تعیین ضریب نفوذ ترکیب مورد مطالعه از روش کرونوآمپرومتری استفاده شد. شکل (۴-۶) کرونوآمپروگرام‌های الکترود اصلاح شده را در حضور غلاظت‌های مختلف وانیلین نشان می‌دهند. به منظور ثبت کرونوآمپروگرام‌ها پتانسیل ۸۰۰ میلی ولت به سیستم اعمال شد. باتوجه به نفوذی بودن فرایند اکسایش وانیلین و به منظور تعیین ضریب نفوذ، منحنی کاترلاین ترکیب در غلاظت‌های مختلف رسم شد. همان‌طور که مشاهده شده است منحنی‌هایه دست آمده بر طبق رابطه کاترل حالت خطی دارد. با توجه به معادله کاترل (معادله ۲):

$$I = \frac{nFACD^{\frac{1}{2}}}{t^{\frac{1}{2}}\pi^{\frac{1}{2}}} \quad (2)$$

در این رابطه  $n$  الکترون‌های مبادله شده،  $A$  سطح فعال الکترود ( $\text{cm}^2$ )،  $D$  ضریب نفوذ ( $\text{cm}^2 \cdot \text{s}^{-1}$ ),  $C$  غلاظت ترکیب مورد آنالیز ( $\text{mmol} \cdot \text{L}^{-1}$ ),  $t$  زمان ( $\text{s}$ ) و  $F = ۹۶۴۸۵$  می‌باشد. مقدار

تشخیص ۰۷۰ نانومولار گزارش شد. نتایج در مطابقت با نتایج ذبیح پور و همکاران [۳۰] و الپر و همکاران [۳۴] قرار داشت. در جدول ۵ حد تشخیص و محدوده خطی حسگر پیشنهادی در مقایسه با روش‌های سایر محققین برای تشخیص وانیلین ارائه گردیده است. همان‌طور که مشاهده می‌گردد حسگر ساخته شده حد تشخیص پایین‌تر و محدوده خطی وسیع‌تری دارد که علت حد تشخیص پایین مطالعه حاضر نسبت به سایر مطالعات پیشین را می‌توان به اثر هم‌افزایی ترکیبات عصاره پوست لیمو ترش در رابطه با افزایش حساسیت نسبت داد.

**Table 5** The analytical data obtained by some previous works for vanillin determination

Electrode	LDR	LOD	Ref.
Glassy carbon: MoS <sub>2</sub> /PANI@g-C <sub>3</sub> N <sub>4</sub> /GCE	0.22 – 8.5 μM	0.043 μM	[38]
Glassy carbon: ZnSF-PdZn	0.05 – 150 μM	20 μM	[39]
Copper particles were coated on an indium tin oxide (ITO)	0.5 μM – 2 mM	0.15 nM	[40]
Carbon paste: NiO-SWCNTs and ionic liquid	0.01 – 350 μM	0.007 μM	[10]
Carbon paste: rG-Fe <sub>3</sub> O <sub>4</sub> -NC/CPE	1 nM – 250 μM	0.3 nM	This work

به منظور بررسی توانایی حسگر پیشنهادی در آنالیز نمونه‌های حقیقی و تشخیص گریش پذیری آن تأثیر برخی گونه‌های مهم غذایی و ترکیبات موجود مورد بررسی قرار گرفت. گزینش پذیری الکترود اصلاح شده برای تعیین ۲۵۰ میکرومولار وانیلین با استفاده از روش DPV با خطای قابل قبول ۵ درصد در جریان بررسی شد. نتایج در جدول ۶، نمایش داده شده است. همان‌طور که مشاهده شده است مراحمت قابل توجهی در آنالیز گونه‌های نام برد شده وجود ندارد؛ و نتایج گریش پذیری خوبی را برای الکترود اصلاح شده جهت تعیین وانیلین در نمونه‌های مواد غذایی تأیید می‌کنند.

**Table 6** The interference study results in the presence of 25.0 μM vanillin

Species	Tolerant limits (Winterference/Wvanillin)
KCl, KBR	500
Glucose	500
Vitamin B2, Methionine, Valine, Glycine	600

در نهایت برای بررسی توانایی حسگر پیشنهادی برای آنالیز در نمونه‌های حقیقی از روش ولتاویری موج مربعی استفاده شد. نمونه‌های سکلات و بیسکوت از بازار محلی خریداری و در هاون توسط دسته هاون ساییده و پودر شد. نمونه با استفاده از روش افزایش استاندارد مورد ارزیابی قرار گرفت. داده‌های نتایج در جدول ۷ ارائه شده است. الکترود اصلاح شده به عنوان یک حسگر جدید به منظور اندازه‌گیری وانیلین در نمونه‌های غذایی حقیقی مورد بررسی قرار گرفت. نتایج روش افزایش استاندارد برای تعیین وانیلین در نمونه‌های غذایی به

دیگر فاکتورهایی که در ارائه و پیشنهاد یک حسگر جدید بسیار حائز اهمیت هستند شامل بررسی گستره خطی کاربردی حسگر (LDR) و حد تشخیص (LOD) آن است. یکی از حساس‌ترین روش‌های ولتاویری برای بررسی این دو فاکتور روش ولتاویری موج مربعی و یا ولتاویری پالس تفاضلی می‌باشد. در این پژوهه از روش ولتاویری موج مربعی برای این امر استفاده گردید و در نهایت گستره خطی برای وانیلین در محدوده بین ۱/۰ ۲۵۰ نانومولار تا میکرو مولار با حد

### ۳-۶- تکرارپذیری حسگر- rG-Fe<sub>3</sub>O<sub>4</sub>-NC/CPE

به منظور مطالعه تکرارپذیری در ساخت حسگر برای تعیین ولتاویری وانیلین، ولتاویری موج مربعی محلول وانیلین μM ۲۵ توسط ۴ حسگر که با یک روش تهیه شده بودند، ثبت گردید. انحراف استاندارد نسبی حدود ۰.۶/۸٪ برای ۴ حسگر محاسبه گردید که نشان از تکرارپذیری خوب حسگر در اندازه‌گیری وانیلین می‌باشد.

۳-۷- بررسی اثر مراحمت

در آنالیز وانیلین و دیگر ترکیبات غذایی شناخته شده یکی از مهم‌ترین مراحل، شناسایی عوامل مراحم در انجام آنالیز است. زیرا با شناسایی آنها می‌توان آنها را از محیط آنالیز حقیقی خارج نمود و محیطی کاربردی و بهینه‌تر برای حسگر پیشنهادی ارائه داد. نتایج حاصل از این پژوهش با نتایج گزارش شده توسط سایر پژوهشگران نظری ذبیح پور و همکاران [۳۰] و الپر و همکاران [۳۴] مطابقت داشت.

### ۳-۸- آنالیز نمونه‌های حقیقی

وضوح توانایی و عملکرد بالای حسگر را برای تعیین وانیلین در نمونه‌های حقیقی تأیید می‌کنند.

**Table 7** Monitoring of vanillin in real samples

Sample	Vanillin added ( $\mu\text{M}$ )	Vanillin expected ( $\mu\text{M}$ )	Vanillin founded ( $\mu\text{M}$ )	Recovery%
Coffee milk	---	---	3.51 $\pm$ 0.34	---
	10.00	13.51	13.41 $\pm$ 0.42	99.25
Biscuit	---	---	5.35 $\pm$ 0.38	---
	10.00	15.35	15.75 $\pm$ 0.89	102.6
Chocolate	---	---	2.85 $\pm$ 0.41	---
	10.00	12.85	13.25 $\pm$ 0.83	103.11

- [2] Banerjee, G., & Chattopadhyay, P. (2019). Vanillin biotechnology: the perspectives and future. *Journal of the Science of Food and Agriculture*, 99(2), 499-506.
- [3] Ranadive, A. (2006). Vanilla-Inside look: Chemistry and Biochemistry of Vanilla Flavor-A survey of the latest research. *Perfumer and Flavorist*, 31(3), 38-45.
- [4] Havkin-Frenkel, D. (2022). Vanillin. In Kirk-Othmer Encyclopedia of Chemical Technology, John Wiley & Sons, Inc (Ed.).
- [5] Shu, M., Man, Y., Ma, H., Luan, F., Liu, H., & Gao, Y. (2016). Determination of vanillin in milk powder by capillary electrophoresis combined with dispersive liquid-liquid microextraction. *Food Analytical Methods*, 9(6), 1706-1712.
- [6] Pérez-Esteve, E., Lerma-García, M. J., Fuentes, A., Palomares, C., & Barat, J. M. (2016). Control of undeclared flavoring of cocoa powders by the determination of vanillin and ethyl vanillin by HPLC. *Food Control*, 67, 171-176.
- [7] Hingse, S. S., Digole, S. B., & Annapure, U. S. (2014). Method development for simultaneous detection of ferulic acid and vanillin using high-performance thin layer chromatography. *Journal of Analytical Science and Technology*, 5(1), 1-9.
- [8] Chen, L., Chaisiwamongkhol, K., Chen, Y., & Compton, R. G. (2019). Rapid electrochemical detection of vanillin in natural vanilla. *Electroanalysis*, 31(6), 1067-1074.
- [9] Zabihpour, T., Shahidi, S. A., Karimi-Maleh, H., & Ghorbani-HasanSaraei, A. (2020). An ultrasensitive electroanalytical sensor based on MgO/SWCNTs-1-Butyl-3-methylimidazolium bis (trifluoromethylsulfonyl) imide paste electrode for the determination of ferulic acid in the presence sulfite in food

#### ۴- نتیجه‌گیری کلی

در این پژوهش ابتدا گرافن اکسید کاهش یافته در حضور عصاره حاصل از پوست لیموترش (به عنوان پایدارکننده و احیاکننده طبیعی) که حاوی مقدار زیادی پلی فلن و فلاونوئید بود سنتز گردید. مشخصات گرافن اکسید کاهش یافته سنتزی با استفاده از روش‌های مختلف (مورفولوژی، ولتاوری و ...) مورد مطالعه و بررسی قرار گرفت. روش‌های استفاده شده تأیید کردند که فیتومولکول‌های موجود در عصاره پوست لیموترش نه تنها به عنوان معرف احیاکننده عمل می‌کنند بلکه صفحات گرافن اکسید کاهش یافته را عامل دار می‌کنند. اصلاح التکرورد توسط رویه سطح پاسخ بهینه شد. چنین حسگر اصلاح شده‌ای با حساسیت و انتخاب‌گری بالا برای اندازه‌گیری و تشخیص الکتروشیمیابی وانیلین در محیط غذایی آبی به کار گرفته شد. از طرفی روش پیشنهادی با روش استاندارد برای اندازه‌گیری وانیلین در مواد غذایی مقایسه شد. صحت و دقت روش پیشنهادی بررسی گردید و نشان داده شد که تفاوت معنی‌داری بین صحت و دقت روش پیشنهادی و روش استاندارد وجود ندارد. با توجه به نتایج حاصل و مزایای مختلف آن نظری دقت اندازه‌گیری بالا، حساسیت، ارزان بودن و ... می‌توان از این حسگر به شکل بر خط یا به صورت کیت آزمایشگاهی در تعیین مقدار وانیلین در کارخانه‌های تولید مواد غذایی نظیر شکلات، بیسکوئیت، شیر طعم دار و بستنی استفاده کرد.

#### منابع

- [1] Leong, G., Uzio, R., & Derbesy, M. (1989). Synthesis, identification and determination of glucosides present in green vanilla beans (*Vanilla fragrans Andrews*). *Flavour and fragrance journal*, 4(4), 163-167.

- Fabrication of Vanillin Electrochemical Sensor in Food Products Analysis and Anticancer Activity. *Topics in Catalysis*, 65, 726–732.
- [18] Vatandost, E., Ghorbani-HasanSaraei, A., Chekin, F., Raeisi, S. N., & Shahidi, S. A. (2020). Green tea extract assisted green synthesis of reduced graphene oxide: Application for highly sensitive electrochemical detection of sunset yellow in food products. *Food Chemistry: X*, 6, 100085.
- [19] Zhao, Q., Lin, Y., Han, N., Li, X., Geng, H., Wang, X., ... & Wang, S. (2017). Mesoporous carbon nanomaterials in drug delivery and biomedical application. *Drug Delivery*, 24(2), 94-107.
- [20] Choi, W., Lahiri, I., Seelaboyina, R., & Kang, Y. S. (2010). Synthesis of graphene and its applications: a review. *Critical Reviews in Solid State and Materials Sciences*, 35(1), 52-71.
- [21] Navyatha, B., Kumar, R., & Nara, S. (2016). A facile method for synthesis of gold nanotubes and their toxicity assessment. *Journal of environmental chemical engineering*, 4(1), 924-931.
- [22] Wang, J., Yang, B., Zhang, K., Bin, D., Shiraishi, Y., Yang, P., & Du, Y. (2016). Highly sensitive electrochemical determination of Sunset Yellow based on the ultrafine Au-Pd and reduced graphene oxide nanocomposites. *Journal of colloid and interface science*, 481, 229-235.
- [23] Padil, V. V. T., & Černík, M. (2013). Green synthesis of copper oxide nanoparticles using gum karaya as a biotemplate and their antibacterial application. *International journal of nanomedicine*, 8, 889.
- [24] Shamel, K., Ahmad, M. B., Zamanian, A., Sangpour, P., Shabanzadeh, P., Abdollahi, Y., & Zargar, M. (2012). Green biosynthesis of silver nanoparticles using Curcuma longa tuber powder. *International journal of nanomedicine*, 7, 5603.
- [25] Parsons, J. G., Peralta-Videa, J. R., & Gardea-Torresdey, J. L. (2007). Use of plants in biotechnology: synthesis of metal nanoparticles by inactivated plant tissues, plant extracts, and living plants. *Developments in environmental science*, 5, 463-485.
- [26] Mittal, A. K., Chisti, Y., & Banerjee, U. C. (2013). Synthesis of metallic samples. *Microchemical Journal*, 154, 104572.
- [10] Gupta, V. K., Karimi-Maleh, H., Agarwal, S., Karimi, F., Bijad, M., Farsi, M., & Shahidi, S. A. (2018). Fabrication of a food nano-platform sensor for determination of vanillin in food samples. *Sensors*, 18(9), 2817.
- [11] Altunay, N. (2018). Development of vortex-assisted ionic liquid-dispersive microextraction methodology for vanillin monitoring in food products using ultraviolet-visible spectrophotometry. *Lwt*, 93, 9-15.
- [12] Nazari, F., Ghoreishi, S. M., & Khoobi, A. (2020). Bio-based Fe<sub>3</sub>O<sub>4</sub>/chitosan nanocomposite sensor for response surface methodology and sensitive determination of gallic acid. *International Journal of Biological Macromolecules*, 160, 456-469.
- [13] Mehdizadeh, Z., Shahidi, S. A., Ghorbani-HasanSaraei, A., Bagher, M., & Limooei, M. B. (2021). An Electroanalytical Determination of Sunset Yellow in Food Product by Amplified Nanostructure Carbon Paste Electrode as Sensor. *International Journal of Electrochemical Science*, 16(4).
- [14] Ebrahimi, P., Shahidi, S. A., & Bijad, M. (2020). A rapid voltammetric strategy for determination of ferulic acid using electrochemical nanostructure tool in food samples. *Journal of Food Measurement and Characterization*, 14(6), 3389-3396.
- [15] Karimi-Maleh, H., Karimi, F., Rezapour, M., Bijad, M., Farsi, M., Beheshti, A., & Shahidi, S. A. (2019). Carbon paste modified electrode as powerful sensor approach determination of food contaminants, drug ingredients, and environmental pollutants: A review. *Current Analytical Chemistry*, 15(4), 410-422.
- [16] Vatandost, E., Ghorbani-Hasan Saraei, A., Chekin, F., Raeisi, S. N., & Shahidi, S. A. (2021). Electrochemical sensor based on magnetic Fe<sub>3</sub>O<sub>4</sub>-reduced graphene oxide hybrid for sensitive detection of binaphthol. *Russian Journal of Electrochemistry*, 57(5), 490-498.
- [17] Tabrizi, M., Shahidi, S. A., Chekin, F., Ghorbani-HasanSaraei, A., & Raeisi, S. N. (2022). Reduce Graphene Oxide/Fe<sub>3</sub>O<sub>4</sub> Nanocomposite Biosynthesized by Sour Lemon Peel; Using as Electro-catalyst for

- [34] Alpar, N., Yardim, Y., & Şentürk, Z. (2018). Selective and simultaneous determination of total chlorogenic acids, vanillin and caffeine in foods and beverages by adsorptive stripping voltammetry using a cathodically pretreated boron-doped diamond electrode. *Sensors and Actuators B: Chemical*, 257, 398-408.
- [35] Karimi-Maleh, H., Hatami, M., Moradi, R., Khalilzadeh, M. A., Amiri, S., & Sadeghifar, H. (2016). Synergic effect of Pt-Co nanoparticles and a dopamine derivative in a nanostructured electrochemical sensor for simultaneous determination of N-acetylcysteine, paracetamol and folic acid. *Microchimica Acta*, 183(11), 2957-2964.
- [36] Moghaddam, A., Zamani, H. A., & Karimi-Maleh, H. (2021). A new electrochemical platform for dasatinib anticancer drug sensing using Fe<sub>3</sub>O<sub>4</sub>-SWCNTs/ionic liquid paste sensor. *Micromachines*, 12(4), 437.
- [37] Behrouzifar, F., Shahidi, S. A., Chekin, F., Hosseini, S., & Ghorbani-HasanSaraei, A. (2021). Preparation and Electrochemical Performance of Fe<sub>3</sub>O<sub>4</sub>-SWCNTs/ionic Liquid Nanocomposites as Sensor for Determination of Tert-Butylhydroquinone. *International Journal of Electrochemical Science*, 16(4).
- [38] Murugan, E., & Dhamodharan, A. (2021). Separate and simultaneous determination of vanillin, theophylline and caffeine using molybdenum disulfide embedded polyaniline/graphitic carbon nitrite nanocomposite modified glassy carbon electrode. *Diamond and Related Materials*, 120, 108684.
- [39] Dong, M., Zhao, S., Lv, Y., Chen, F., Wang, A., Fu, L., & Lin, C. T. (2021). Electroanalytical determination of vanillin using PdZn particles decorated ZnS fibers. *Journal of Food Measurement and Characterization*, 15(5), 4718-4725.
- [40] Karakaya, S., & Kaya, İ. (2021). A Novel Sensitive and Selective Amperometric Detection Platform for the Vanillin Content in Real Samples. *Electroanalysis*, 33(6), 1615-1622.
- nano particles using plant extracts. *Biotechnology advances*, 31(2), 346-356.
- [27] Vatandost, E., Saraei, A. G. H., Chekin, F., Raeisi, S. N., & Shahidi, S. A. (2020). Antioxidant, antibacterial and anticancer performance of reduced graphene oxide prepared via green tea extract assisted biosynthesis. *ChemistrySelect*, 5(33), 10401-10406.
- [28] Ramezanpour, M., Raeisi, S. N., Shahidi, S. A., & Ramezanpour, S. (2020). Trace analysis of Pb (II) in milk samples by Fe<sub>3</sub>O<sub>4</sub>@SiO<sub>2</sub>@3-chloropropyltriethoxysilane@o-phenylenediamine nanoparticles as an unprecedented adsorbent for magnetic dispersive solid phase extraction. *Micro & Nano Letters*, 15(6), 390-395.
- [29] Shahidi, S. A. (2022). Effect of solvent type on ultrasound-assisted extraction of antioxidant compounds from Ficariakochii: Optimization by response surface methodology. *Food and Chemical Toxicology*, 163, 112981.
- [30] Zabihpour, T., Shahidi, S. A., Karimi-Maleh, H., & Ghorbani-HasanSaraei, A. (2020). Voltammetric food analytical sensor for determining vanillin based on amplified NiFe<sub>2</sub>O<sub>4</sub> nanoparticle/ionic liquid sensor. *Journal of Food Measurement and Characterization*, 14(2), 1039-1045.
- [31] Huang, X., Lu, J., Lu, C., Wei, L., & Li, Q. (2014). Separation and enrichment of flavonoids from orange peel using magnetic nanoparticles. *Asian Journal of Chemistry*, 26(4), 1189-1194.
- [32] Shahidi, S. A., Ebrahimi, P., Zabihpour, T., & NaghizadehRaeisi, S. (2021). Electrochemical Analysis of Sunset Yellow Based on NiO-SWCNTs NC/IL Modified Carbon Paste Electrode in Food Samples. *Journal of Food Biosciences and Technology*, 11(2), 11-22.
- [33] Li, X., Feng, J., Du, Y., Bai, J., Fan, H., Zhang, H., ... & Li, F. (2015). One-pot synthesis of CoFe<sub>2</sub>O<sub>4</sub>/graphene oxide hybrids and their conversion into FeCo/graphene hybrids for lightweight and highly efficient microwave absorber. *Journal of Materials Chemistry A*, 3(10), 5535-5546.



## Facil and green synthesis of biocompatible nanocomposites based on iron oxide/reduced graphene oxide for determination of Vanillin in Food Samples: Response surface methodology optimization

Tabrizi, M. <sup>1</sup>, Shahidi, S. A. <sup>2\*</sup>, Chekin, F. <sup>3</sup>, Ghorbani-HasanSaraei, A. <sup>4</sup>,  
Naghizadeh Raeisi, Sh. <sup>5</sup>

1. Department of Food Science and Technology, Ayatollah Amoli Branch, Islamic Azad University, Amol, Iran.

2. Associate Professor, Department of Food Science and Technology, Ayatollah Amoli Branch, Islamic Azad University, Amol, Iran.

3. Associate Professor, Department of Chemistry, Ayatollah Amoli Branch, Islamic Azad University, Amol, Iran.

4. Associate Professor, Department of Food Science and Technology, Ayatollah Amoli Branch, Islamic Azad University, Amol, Iran.

5. Assistant Professor, Department of Food Science and Technology, Ayatollah Amoli Branch, Islamic Azad University, Amol, Iran.

### ABSTRACT

Additives analysis plays important role in food quality control and has a great impact on public health. Therefore, rapid detection of these compounds in food samples is important in food safety. In this study, reduced graphene oxide /Fe<sub>3</sub>O<sub>4</sub> nanocomposite (rG-Fe<sub>3</sub>O<sub>4</sub>-NC) was synthesized in the presence of sour lemon peel extract as a reducer and stabilizer agent in aqueous solution. For the first time multivariate optimization based on rotatable central composite design (RCCD) coupled with response surface methodology (RSM) was used to optimize effective experimental variables for fabrication of electrode. An experimental design has been used to examine and optimize the impacts of diverse experimental parameters like the pH and concentration of the nanocomposite in rG-Fe<sub>3</sub>O<sub>4</sub>-NC. The optimal conditions were pH: 6 and the concentration of the nanocomposite: 8%. The synthesized nanocomposites were characterized by TEM and XRD techniques. The rGO modified carbon paste electrode (rG-Fe<sub>3</sub>O<sub>4</sub>-NC/CPE) was used as a highly sensitive electrochemical sensor for the detection of vanillin. Interference of vitamin B<sub>2</sub>, methionine, valine, glycine and KBR, KCl and glucose were checked in the presence of 25 μM vanillin at surface of rG-Fe<sub>3</sub>O<sub>4</sub>-NC/CPE with acceptable error 5%. Results confirmed that 500-fold of above compounds have not any important interference in monitoring process of 25 μM vanillin. The vanillin sensor showed linear range between 01 nM – 250 μM and a low detection limit of 0.3 nM. Finally, the rG-Fe<sub>3</sub>O<sub>4</sub>-NC/CPE was successfully used for determining vanillin in food samples. Therefore, this sensor can be used in food industry to the online determination of vanillin in flavored milks and ice cream.

### ARTICLE INFO

#### Article History:

Received 2022/02/24

Accepted 2022/06/22

#### Keywords:

Electrochemical sensor,  
Experimental design,  
Sour lemon peel extract,  
Vanillin.

**DOI:** 10.22034/FSCT.19.126.283

**DOR:** 20.1001.1.20088787.1401.19.126.26.7

\*Corresponding Author E-Mail:  
sashahidy@yahoo.com